ESTUDO DE COMPOSTOS ORGANOMETÁLICOS DE RUTÊNIO COMO INIBIDORES DE CISTEÍNO PROTEASES DE TRIPANOSSOMATÍDEOS

Amanda de Carvalho Dosatti¹, Douglas Wagner Franco², Luiz Juliano³, Wagner Alves de Souza Júdice⁴

Estudante do Curso de Medicina; e-mail: amandadosatti@hotmail.com¹
Professor da USP – Instituto de Química de São Carlos²
Professor UNIFESP – Departamento de Biofísica³
Professor da Universidade de Mogi das Cruzes - CIIB; e-mail: wagneras@umc.br⁴

Área de conhecimento: Enzimologia

Palavras-chave: Cisteíno-Proteases, Organometálicos, Rutênio, Tripanossomatídeos

INTRODUÇÃO

As Cisteíno proteases desempenham importante papel no metabolismo protéico celular, no processamento de pró-hormônios e pró-enzimas, na degradação de proteínas da matriz (Ii et al., 1993). Na *Leishmania mexicana*, foi observada uma atividade de cisteíno protease consideravelmente maior na forma amastigota de mamíferos do que na forma promastigota, que vive no inseto vetor (North et al., 1981; Coombs et al., 1982; Lockwood et al., 1987; Robertson et al., 1992). Isto sugere que esta alta atividade de CP é de importância crucial para a sobrevivência do amastigota nos macrófagos do hospedeiro mamífero, sendo que a enzima pode tornar-se alvo para o desenvolvimento de drogas anti-leishmaniais baseadas na sua inibição. Cruzipaína, a cisteíno protease majoritária do *Trypanosoma cruzi*, foi identificada como um potencial alvo terapêutico para tratamento da Doença de Chagas (Harth et al., 1993)), pois é reconhecida como um fator de virulência do *T. cruzi*. Os organometálicos são moléculas orgânicas que tem uma alta flexibilidade quanto à manipulação estrutural inserindo grupos periféricos ou adição de átomos metálicos à mesma. Os complexos de rutênio têm grande importância no tratamento do câncer, sendo bem tolerados in vivo (Kostova, 2006).

OBJETIVOS

Determinar os valores de IC₅₀ compostos organometálicos de rutênio na inibição das enzimas rCPB2.8, rCPB3, rH84Y e cruzaína bem como a caracterização dos mecanismos de inibição.

METODOLOGIA

As enzimas cruzaína, rCPB2.8 e suas isoformas (rCPB3, rH84Y) foram incubadas com tampão acetato de sódio, com 2,5mM de ditiotreitol (ativador de cisteíno proteases) por 10min a 35°C e a reação iniciada pela adição de substrato, procedendo-se a leitura com a adição de concentrações crescentes de inibidor até que não haja mais redução da atividade enzimática (Oliveira et al.,1992). Com os dados adquiridos foi possível calcular o IC₅₀. Após os ensaios de determinação dos valores de IC₅₀, os compostos mais ativos foram escolhidos e submetidos aos ensaios cinéticos para determinação do mecanismo de ação e consequentemente obtenção dos valores de Ki. Os estudos dos mecanismos de ação dos inibidores envolveram coleta experimental de dados e o tratamento adequado usando o método de linearização de Lineweaver-Burk (Wilkinson, 1961). Os dados coletados deram origem aos gráficos de duplo-recíprocos e através do

padrão de intersecção das curvas no plano de coordenadas cartesianas, foi possível determinar o mecanismo de ação. Dos interceptos ou dos coeficientes angulares das retas do gráfico dos duplos recíprocos constrói-se os gráficos dos replotes de inclinação ou dos interceptos dos quais obtém-se Ki e αKi, respectivamente.

MATERIAIS / INSTRUMENTOS

As enzimas rCPB2.8 e suas isoformas rCPB3 e rH84Y de *L. mexicana* foram clonadas em vetor de expressão pQE-30 e obtida a partir de *Escherichia coli* (Sanderson et al., 2000). A cruzaína foi obtida a partir de *E. coli* (cepa DH5α contendo o plasmídio de expressão) sendo expressa, purificada e ativada seguindo procedimentos previamente reportados (Eakin et al., 1992). O substrato Z-FR-MCA foi obtido comercialmente e utilizado como sonda fluorogênica para acompanhamento da atividade enzimática. Foram testados compostos organometálicos de rutênio, sendo eles (SO4) pic, (NO) nic, (SO4) py, (SO4) isn, ImN (NO), (NO) pic, (NO)py, (9SO4) nic, (No)isn, (SO4) ImN, T-[Ru (NH3)5Cl] Cl2, T-[Ru (NH3)(OH2)2] e T-RuP (III) NO+, gentilmente cedidos pelo prof. Dr. Douglas Wagner Franco da Universidade de São Paulo do Instituto de Química de São Carlos.

RESULTADOS E DISCUSSÃO

IC₅₀ é o valor da concentração de um inibidor necessária para reduzir pela metade a velocidade da reação. Portanto, quanto menor for o valor de IC₅₀, mais eficiente será o inibidor . Sendo assim, para a enzima CPB2.8 os melhores inibidores foram o Ru2 (IC₅₀ = 3,16μM), o Ru7 (IC₅₀ = 4,64μM) e o Ru13 (IC₅₀ = 3,52μM). Quanto à enzima CPB3.0, foi possível constatar que os inibidores mais eficientes foram os compostos Ru5 (IC₅₀ = 2,30μM), Ru9 (IC₅₀ = 1,58μM) e Ru10 (IC₅₀ = 3,09μM). Em relação à enzima rH84Y, os organometálicos que apresentaram maior eficiência foram o Ru2 (IC₅₀ = 6,96μM), o Ru5 (IC₅₀ = 6,69μM) e o Ru13 (IC₅₀ = 3,99μM). Para a enzima cruzaína os melhores compostos foram o Ru2 (IC₅₀ = 8,36μM), Ru5 (IC₅₀ = 12,33μM) e Ru9 (IC₅₀ = 11,05μM).

TABELA 1. Valores de IC₅₀ determinados para as enzimas CPB2.8, CPB3.0, rH84Y e Cruzaína.

Composto	IC ₅₀ em μM			
	CPB2.8	CPB3.0	rH84Y	Cruzaína
Ru2	3,16 ± 0,11	$5,9 \pm 0,3$	7 <u>+</u> 1	$8,4 \pm 0,3$
Ru3	21 <u>+</u> 5	8,6 <u>+</u> 1,7	24 <u>+</u> 3	6 <u>+</u> 3
Ru4	9,1 ± 0,7	9,2 <u>+</u> 0,5	13 <u>+</u> 1	56 <u>+</u> 1
Ru5	5,1 <u>+</u> 1,1	$2,3 \pm 0,2$	$6,7 \pm 0,3$	12 <u>+</u> 1
Ru6	17 <u>+</u> 2	$10,2 \pm 0,3$	20 <u>+</u> 1	17,4 ± 0,5
Ru7	4,6 ± 0,5	$3,6 \pm 0,2$	$11,1 \pm 0,5$	21 ± 3
Ru8	8,5 <u>+</u> 1,2	5,4 ± 0,7	12 <u>+</u> 1	14 <u>+</u> 1
Ru9	6,5 ± 0,4	1,6 ± 0,4	$7,3 \pm 0,5$	$11,1 \pm 0,5$
Ru1 0	16 <u> </u>	3,1 <u>+</u> 0,6	13 <u>+</u> 1	106 <u>+</u> 1 0
Ru11	9,6 <u>+</u> 0,9	4,2 ± 0,7	18 <u>+</u> 1	75 <u>+</u> 11
Ru12	21 <u>+</u> 4	9,8 <u>+</u> 0,8	49 <u>+</u> 6	127 <u>+</u> 11
Ru13	3,5 ± 0,4	6,0 <u>+</u> 0,3	$4,0 \pm 0,3$	55 <u>+</u> 6

(Condições: Tampão acetato de Sódio 100 mM, pH 5,5, DTT 2,5mM, 35°C) Após a determinação dos valores de IC_{50} , foram definidos os mecanismos de inibição do composto Ru2 para as enzimas rCPB2.8 e rH84Y. As Figuras 1A e 1C

correspondem ao plote dos duplos recíprocos na qual as retas estão interseccionando o eixo Y em um mesmo ponto, isso significa que não há variação de velocidade máxima nas várias concentrações do composto Ru2, porém existe variação do K_M . Este perfil define a interação entre enzima e inibidor como um mecanismo de inibição competitivo. A partir das Figuras 1B e 1D, na qual se tem os replotes das inclinações das retas, verifica-se uma reta que define o mecanismo linear simples, determinando, então, uma Inibição Competitiva Linear Simples. Esses replotes permitiram determinar o valor da constante de inibição do organometálico de rutênio Ru2 na inibição das enzimas rCPB2.8 com Ki = $6.9 \pm 0.4 \mu M$ e rH84Y com Ki = $7.75 \pm 0.02 \mu M$. A partir destes resultados foi possível estabelecer o mecanismo de inibição competitivo linear simples apresentado na Figura 2, no qual verificamos que o composto Ru2 liga-se exclusivamente à enzima livre.

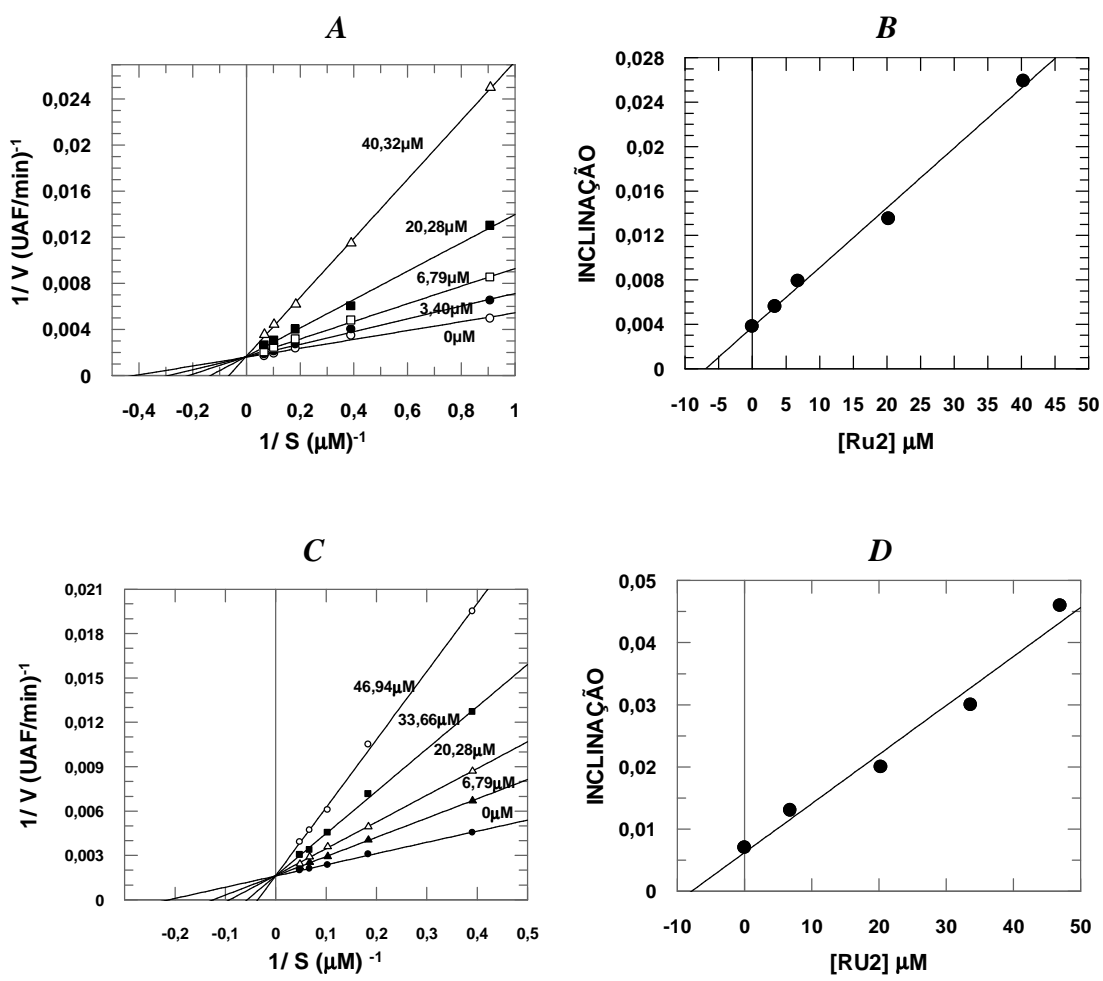


FIGURA 1 - Inibição das cisteíno proteases de Leishmania mexicana pelo organometálico de rutênio Ru2.

A) Plote dos duplos recíprocos da inibição da rCPB2.8; **B**) Replote da inclinação. K_i =6,9 ± 0,4 μM. Inibição competitiva linear simples; **C**) Plote dos duplos recíprocos da inibição da rH84Y; **D**) Replote da inclinação. K_i =7,75 ± 0,02 μM. Inibição competitiva linear simples.

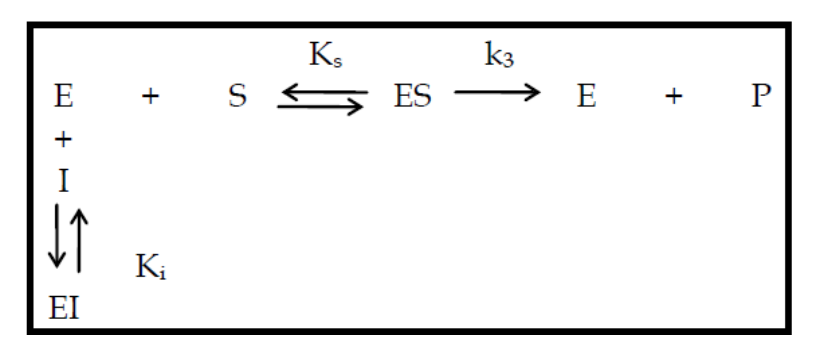


FIGURA 2 - Esquema da interação entre enzima, inibidor e substrato na Inibição Competitiva.

CONCLUSÕES

Os compostos metálicos de rutênio mostraram valores de IC₅₀ variando de 1,6μM a 127μM, sendo que a maioria ficou próxima de 10μM. Em geral os compostos foram menos eficientes na inibição da Cruzaína. Isso mostra que estes compostos são mais seletivos às cisteíno proteases de *Leishmania*, tornando-as moléculas promissoras no desenvolvimento de novas drogas antileishmaniais. Tanto a Doença de Chagas quanto a leishmaniose são enfermidades típicas de países pobres ou subdesenvolvidos e são negligenciadas pelas indústrias farmacêuticas, atribuindo maior importância aos nossos resultados.

REFERÊNCIAS BIBLIOGRÁFICAS

COOMBS, G.H. (1982) Parasitology. (84) 149-155.

EAKIN, A.E.; MILLS, A.A.; HARTH, G.; MCKERROW, J.H; CRAIK, C.S. (1992), J. Biol. Chem. 267, 7411–7420.

HARTH G, ANDREWS N, MILLS AA, ENGEL JC, SMITH R, MCKERROW JH. (1993) Mol. Biochem. Parasitol. 58:17-24.

II, K.; ITO, H.; KOMINAMI, E.; HIRANO, A. (1993) Virchows Arch A 423: (3) 185-194.

KOSTOVA, J. Ruthenium complexes as anticancer agents. Current Medicinal Chemistry, v. 13, p. 1085-1107, 2006.

LOCKWOOD, B.C.; NORTH, M.J.; SCOTT, K.I.; BREMMER, A.F.; COOMBS, G.H. (1987) Mol Biochem Parasitol (24) 89-95.

NORTH, M.J.; COOMBS, G.H. (1981) Mol. Biochem. Parasitol. (3) 293-300.

OLIVEIRA, M.C.F., HIRATA, I.Y., CHAGAS, J.R., BOSCHCOV, P., GOMES, R.A.S., FIGUEIREDO, A.F.S. & JULIANO, L. (1992), Anal. Biochem. 203, 39–46.

ROBERTSON, C.D.; COOMBS, G.H. (1992) FEMS Microbiol Lett. (94) 127-132.

WILKINSON, G.N. (1961), Biochem. J. 80, 324-332.

AGRADECIMENTOS

Agradecemos pelo suporte financeiro dado pela FAEP, FAPESP, CNPq e FAPEMIG.